

Журнал издается одновременно на русском («Известия Академии наук. Серия химическая») и английском («Russian Chemical Bulletin») языках. Подробную информацию о журнале, содержания номеров журнала в графической форме и аннотации статей, а также годовые предметные и авторские указатели можно получить в Интернете по адресу: <http://russchembull.ru>

The Journal is published in Russian and English.

The International Edition is published under the title "Russian Chemical Bulletin" by Springer:
233 Spring St., New York, NY 10013, USA. Tel.: 212 460 1572. Fax: 212 647 1898.

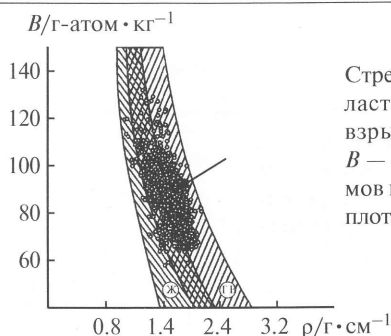
Detailed information concerning the journal, contents of issues with graphical and text abstracts, as well as annual subject and author indices can be found in the Internet at <http://russchembull.ru>

Содержание

Обзоры

Комплексная оценка физико-химических свойств новых энергоёмких материалов

А. С. Смирнов, С. П. Смирнов,
Т. С. Пивина, Д. Б. Лемперт,
Л. К. Маслова



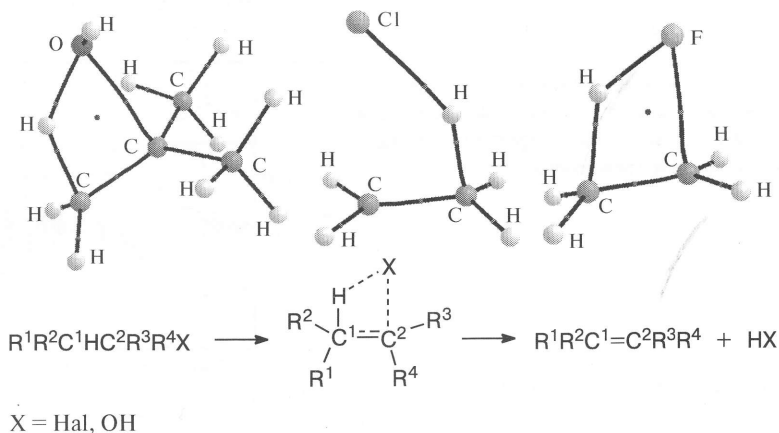
Стрелкой отмечена область существования взрывчатых веществ; V — сумма числа γ -атомов в 1 кг вещества, ρ — плотность.

Изв. АН. Сер. хим., 2016, № 10, 2315

Полные статьи

Топологический анализ переходных состояний реакций согласованного молекулярного распада галогеналканов и спиртов с элиминированием HNaI и HOH

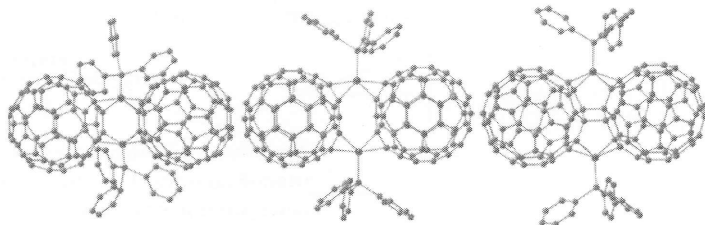
Н. С. Емельянова, Т. С. Покидова



Изв. АН. Сер. хим., 2016, № 10, 2333

Теоретическое изучение строения и реакционной способности комплексов металлов в нульвалентном состоянии с фуллереновыми лигандами

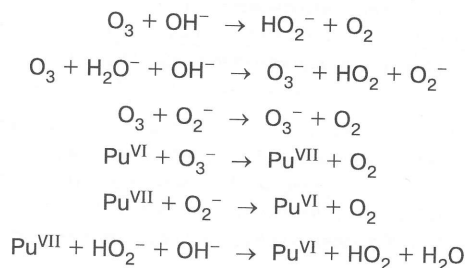
А. Ф. Шестаков



Изв. АН. Сер. хим., 2016, № 10, 2340

Механизм окисления Pu^{VI} озонем и другими реагентами в щелочных растворах

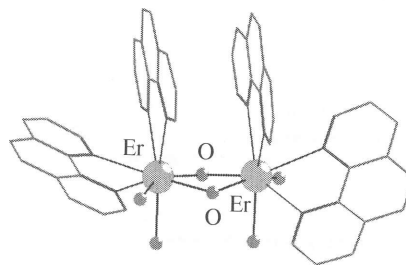
В. П. Шилов, А. В. Гоголев,
А. М. Федосеев, Б. Г. Ершов



Изв. АН. Сер. хим., 2016, № 10, 2351

Строение ионного кластерного комплекса [Er(H₂O)₂(phen)₂(μ-OH)]₂[Re₄Te₄(CN)₁₂] · 13H₂O

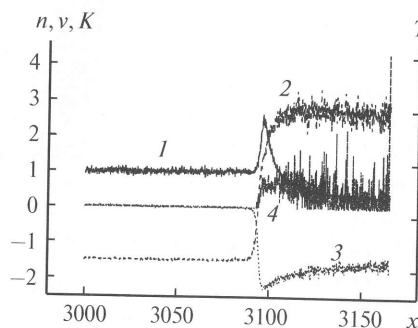
Ю. М. Литвинова, Я. М. Гайфулин,
Д. Г. Самсоненко, Ю. В. Миронов



Изв. АН. Сер. хим., 2016, № 10, 2355

Моделирование газовой детонации в канале постоянного сечения, инициируемой мгновенным нагревом торца, для смеси O + O₃ + He при различных концентрациях He и температурах нагреваемого торца

С. В. Куликов, О. Н. Терновая

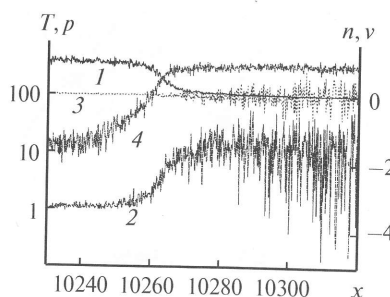


Профили параметров реагента А и коэффициента скорости прямой реакции (K) в момент времени $t = 4412.7$ при начальном отношении n_A, n_B и n_E 1 : 1 : 8; n_A (1); T_A (2); v_A (3) и K (4) ($A = \text{O}$, $B = \text{O}_3$ и $E = \text{He}$).

Изв. АН. Сер. хим., 2016, № 10, 2358

Сверхравновесное увеличение скорости химической реакции во фронте и другие эффекты газовой детонации, численно моделируемой в канале при мгновенном нагреве торца

С. В. Куликов, О. Н. Терновая,
Н. А. Червонная

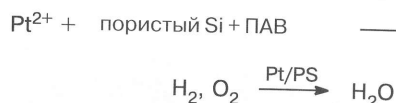


Детальная структура фронта для случая $Q_{AB} = 90kT_1$ в момент времени $t = 1250$. 1 — концентрация реагента (n_A), 2 — кинетическая температура (T_A), 3 — продольная скорость (v_A) и 4 — давление (p).

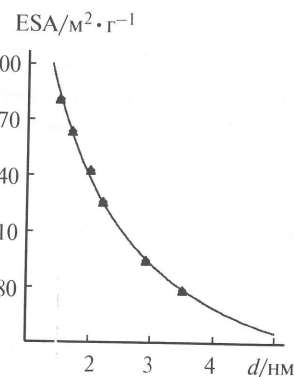
Изв. АН. Сер. хим., 2016, № 10, 2362

Синтез и каталитическая активность нанокм-позитов платина/пористый кремний

Н. А. Яштулов, В. О. Зенченко,
Н. В. Кулешов, В. Р. Флид



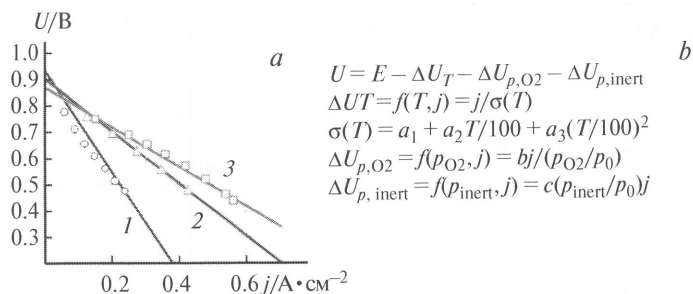
Зависимость размера электрокаталитически активной области (ESA) нанокм-позитов пористый кремний/наночастицы платины от размеров наночастиц платины (d).



Изв. АН. Сер. хим., 2016, № 10, 2369

Моделирование электрохимических процессов в твердооксидном топливном элементе

И. С. Аверьков, А. В. Байков,
Л. С. Яновский, В. М. Волохов

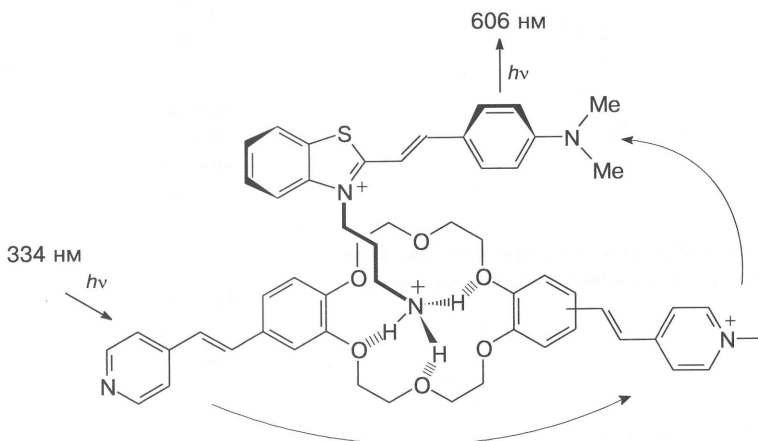


(a) Влияние температуры на вольт-амперную характеристику твердооксидного топливного элемента при постоянном коэффициенте использования топлива: 800 (1), 900 (2) и 1000 °С (3); точки — эксперимент, линии — расчет; (b) математическая модель вольт-амперной характеристики твердооксидного топливного элемента; U — напряжение на ячейке, E — электродвижущая сила.

Изв. АН. Сер. хим., 2016, № 10, 2375

Изучение фотоиндуцированного переноса энергии в супрамолекулярных ансамблях стироловых красителей

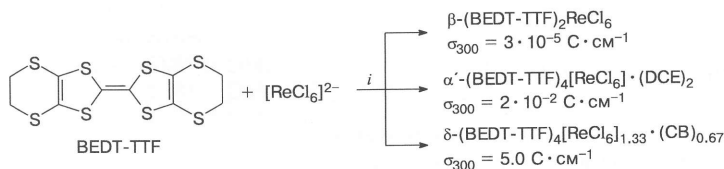
А. Ю. Лебедева, Т. Н. Леонтьев,
М. С. Ощепков, Н. Э. Шепель,
С. М. Перегудова, Ю. В. Федоров,
О. А. Федорова



Изв. АН. Сер. хим., 2016, № 10, 2381

Новые низкоразмерные молекулярные проводники на основе катион-радикальных солей бис(этилендитио)тетраафульвалена с октаэдрическим металлокомплексным анионом $[Re^{IV}Cl_6]^{2-}$

С. С. Хасанов, А. В. Казакова,
А. О. Толстикова, С. В. Симонов,
Э. Б. Ягубский, Р. П. Шибаева

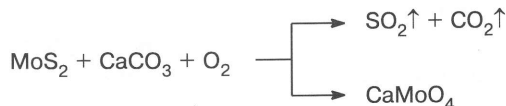


i. Электрoкристаллизация

Изв. АН. Сер. хим., 2016, № 10, 2388

Окислительный обжиг молибденового концентрата с образованием молибдата кальция при проведении процесса в режиме фильтрационного горения

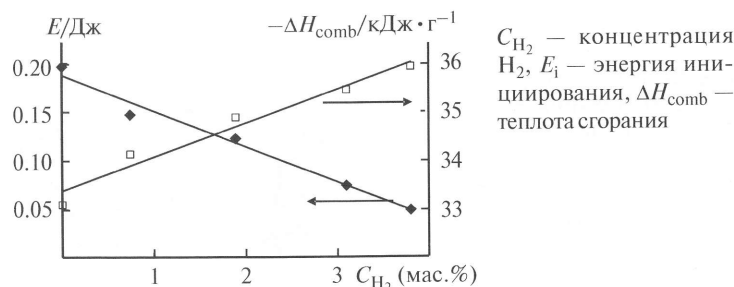
И. Ю. Гудкова, А. С. Вусихис,
Д. Б. Лемперт



Изв. АН. Сер. хим., 2016, № 10, 2396

Чувствительность к удару энергетических систем на основе нанопористого кремния и окислителя: влияние содержания водорода и удельной поверхности

Ю. М. Михайлов, В. А. Гаранин,
Ю. В. Ганин, Т. К. Гончаров,
Л. В. Ганина, Г. Г. Зегря

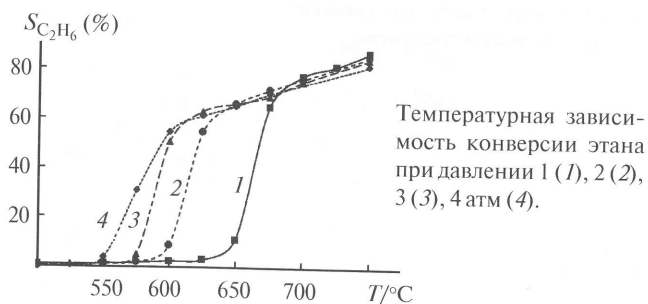


Изв. АН. Сер. хим., 2016, № 10, 2400

Влияние давления на закономерности окислительного крекинга легких алканов C_2-C_4

А. В. Никитин, А. С. Дмитрук,
В. С. Арутюнов

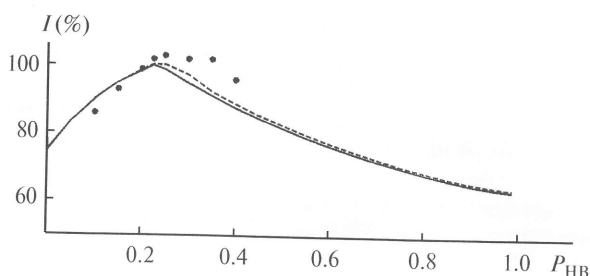
Изв. АН. Сер. хим., 2016, № 10, 2405



Вычисление состава продуктов детонации и оптимизация динамических характеристик смесевых взрывчатых веществ

В. А. Дубовицкий, Д. А. Нестеренко

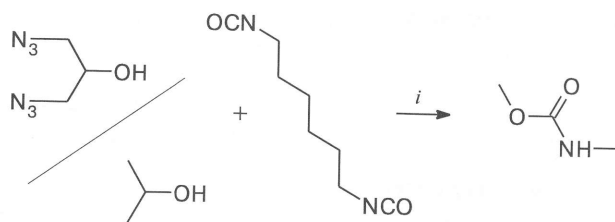
Изв. АН. Сер. хим., 2016, № 10, 2411



Зависимости относительного импульса (I) смеси тетранитрометана с нитробензолом (НБ) от доли НБ (P_{NB}): сплошная линия — расчет по модели (1), штриховая — расчет по модели (3), точками указаны экспериментальные значения.

Влияние молекулярной организации раствора азидоспирта на кинетику реакций уретанообразования

С. В. Карпов, В. П. Лодыгина,
Г. В. Малков, Э. Р. Бадамшина



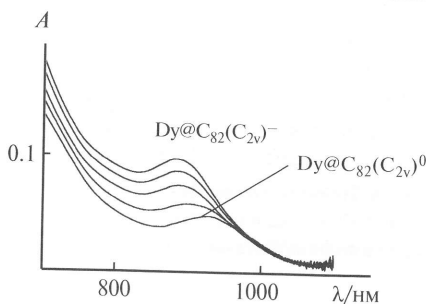
i . $[OH]/[NCO] = 1$, $[OH] = 0.05, 0.2, 0.8, 2.0$ г-экв. \cdot л $^{-1}$, концентрация дибутилдилаурината олова 0—0.002 г-экв. \cdot л $^{-1}$; CH_2Cl_2 , нормальные условия.

Изв. АН. Сер. хим., 2016, № 10, 2415

Определение молярных коэффициентов экстинкции эндодраального металлофуллерена $Dy@C_{82}(C_{2v})$

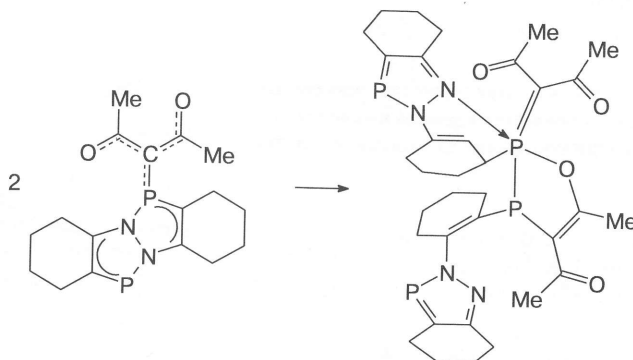
И. Е. Кареев, В. М. Некрасов,
А. Е. Дутлов, В. П. Бубнов,
В. М. Мартыненко, Е. Э. Лаухина,
Дж. Веслана, К. Ровира

Изв. АН. Сер. хим., 2016, № 10, 2421



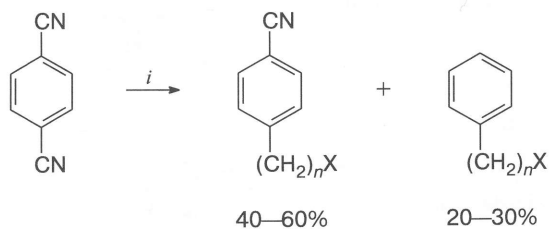
Алдукты двухкоординированного трехвалентного фосфора с карбенами

А. Н. Корнев, В. Е. Гальперин,
В. В. Сушев, Н. В. Золотарева,
Г. К. Фукин, А. В. Черкасов,
Г. А. Абакумов



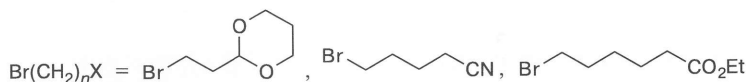
Изв. АН. Сер. хим., 2016, № 10, 2425

Синтез 4-(ω -X-алкил)бензонитрилов (X — 1,3-диоксан-2-ил, CN, CO₂Et) взаимодействием дианиона терефталонитрила с ω -X-алкилбромидом в жидком аммиаке



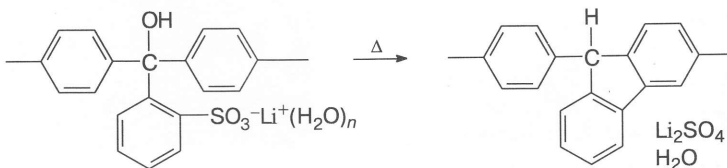
Р. Ю. Пешков, Ван Чуньянь,
Е. В. Пантелеева, Е. В. Третьяков,
В. Д. Штейнгарц

i. 1) 2.15—2.20 экв. Na, 2) 1.3 экв. Br(CH₂)_nX, NH₃, -33 °С, 1.5 ч.



Изв. АН. Сер. хим., 2016, № 10, 2430

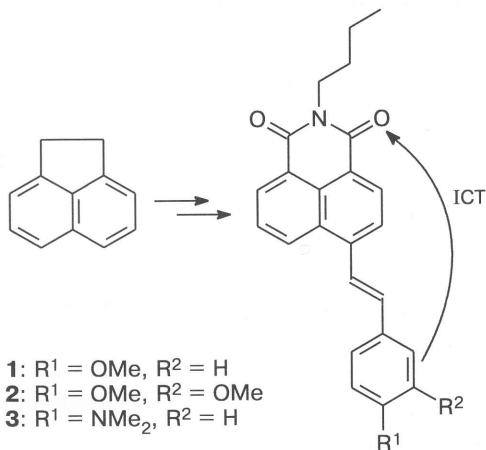
О термостабильности литиевой соли полидифениленсульфогталида



Н. М. Шишлов, Ш. С. Ахметзянов,
С. Л. Хурсан

Изв. АН. Сер. хим., 2016, № 10, 2437

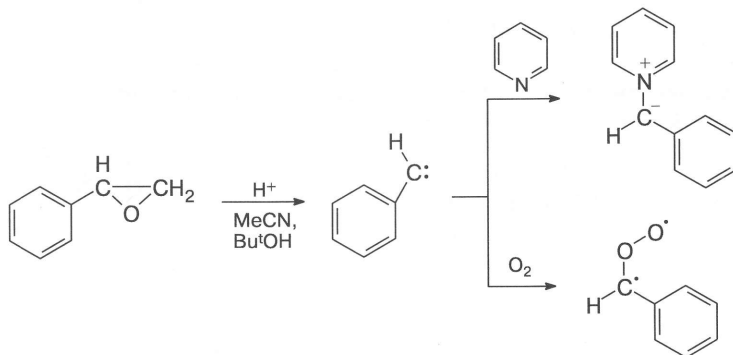
Синтез и спектральные свойства флуоресцентных красителей на основе производных 4-стирил-1,8-нафталимида



П. А. Панченко, А. Н. Архипова,
М. А. Захарко, Г. Йонушаускас,
Ю. В. Федоров, О. А. Федорова

Изв. АН. Сер. хим., 2016, № 10, 2444

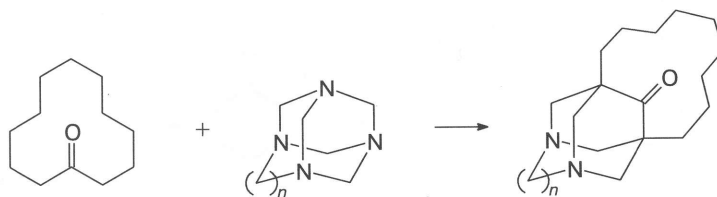
Фенилметилен как промежуточная частица кислотно-катализируемого окисления эпоксида стирола



М. Г. Спиринов, С. Б. Бричкин,
Л. В. Петров

Изв. АН. Сер. хим., 2016, № 10, 2452

Синтез 5,7-нонаметилен-1,3-диазаадамantan-6-она



И. О. Разенко, Т. М. Серова,
А. И. Кузнецов

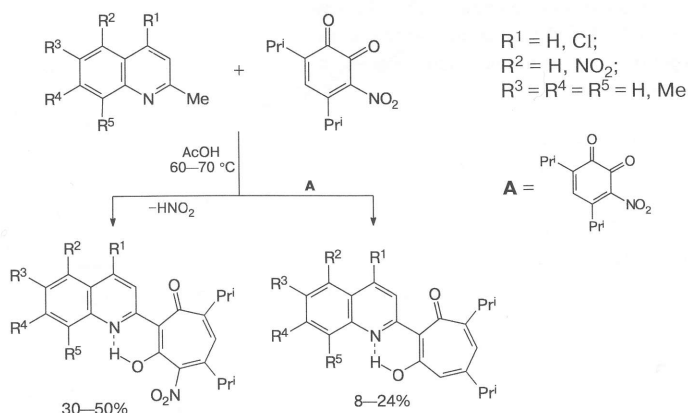
n = 1, 2

Изв. АН. Сер. хим., 2016, № 10, 2458

Синтез и молекулярное строение производных 5,7-диизопропил-2-(хинолин-2-ил)-1,3-трополонов

Ю. А. Саяпин, Зыонг Нгиа Банг,
Е. А. Гусаков, И. В. Дороган,
В. В. Ткачев, В. С. Горковец,
В. Н. Комиссаров, Зыонг Нгюк Тоан,
Нгуен Данг Дык, Г. В. Шилов,
С. М. Алдошин, В. И. Минкин

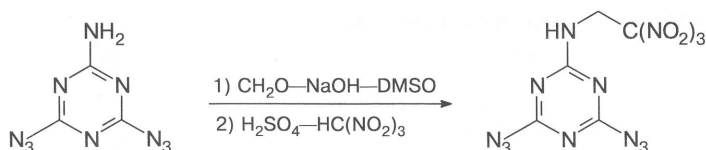
Изв. АН. Сер. хим., 2016, № 10, 2461



Синтез и изучение структуры 4,6-диазидо-2-(2,2,2-тринитроэтиламино)-1,3,5-триазина

А. В. Шастин, А. Г. Корепин,
З. Г. Алиев, Д. В. Корчагин,
Н. М. Глушакова, В. С. Малыгина,
В. П. Косилко, В. П. Лодыгина,
Г. В. Лагодзинская, С. М. Алдошин

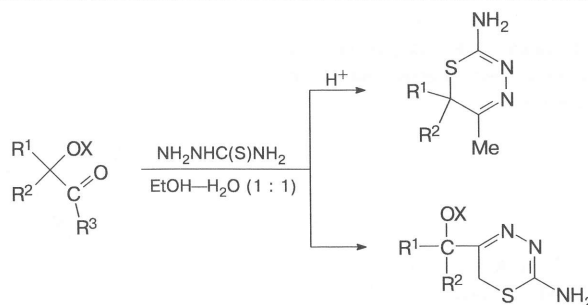
Изв. АН. Сер. хим., 2016, № 10, 2469



Гидроксикетоны в реакциях образования тиадiazинового цикла

Э. Х. Пулатов, М. Д. Исобаев,
Б. Г. Мавлонов

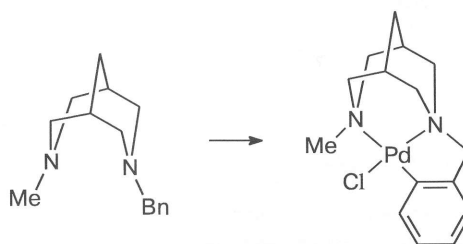
Изв. АН. Сер. хим., 2016, № 10, 2475



Циклопалладиевый комплекс 3-бензил-7-метил-3,7-диазабицикло[3.3.1]нонана

Л. А. Булыгина, Н. С. Хрущева,
А. С. Перегудов, В. И. Соколов

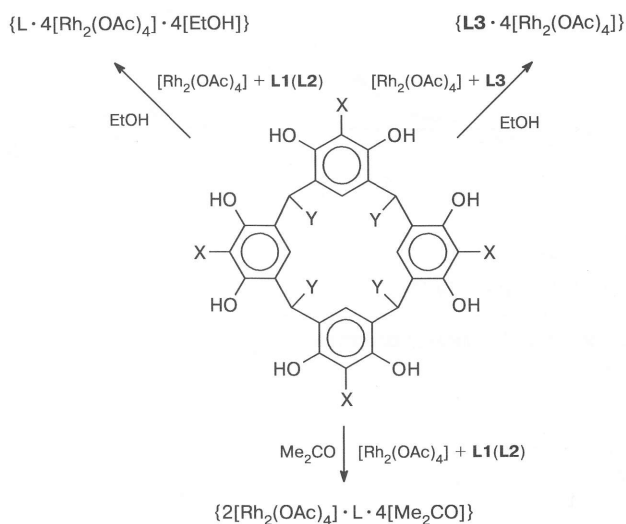
Изв. АН. Сер. хим., 2016, № 10, 2479



Комплексообразование диродия(II) с N-функционализованными каликс[4]резорцинами

Е. В. Гусева, Т. М. Буслаева,
Е. И. Гришин

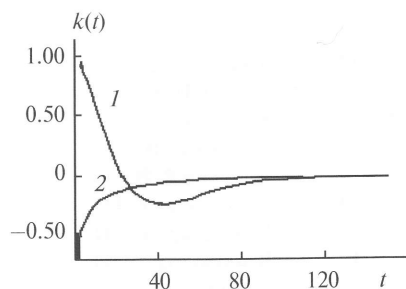
Изв. АН. Сер. хим., 2016, № 10, 2485



Метод стимулированного эха для исследования структурных и динамических характеристик разветвленных полимеров

Т. П. Кулагина, Г. Е. Карнаух,
С. В. Курмаз, О. М. Вяселев

Изв. АН. Сер. хим., 2016, № 10, 2494



Корреляционная функция при различном распределении $P(N)$ цепей по длинам: гуссово (1) и экспоненциальное распределение (2).

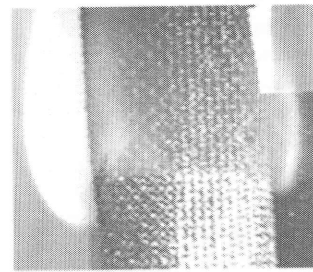
Особенности горения нитрата целлюлозы в балластрированных системах

Ю. М. Михайлов, В. В. Алешин,
В. И. Клевков

Изв. АН. Сер. хим., 2016, № 10, 2500



НЦ < 60%

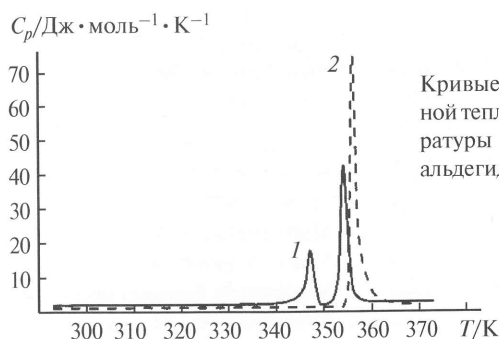


НЦ > 60%

Термофизические свойства модельных соединений структурного звена лигнина

Н. В. Шкаева, Д. С. Косяков,
Т. Э. Скребец, Ю. Н. Сазанов

Изв. АН. Сер. хим., 2016, № 10, 2504



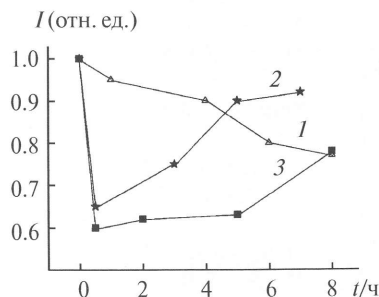
Кривые зависимости изобарной теплоемкости C_p от температуры для кониферилвого альдегида (1) и ванилина (2).

Краткие сообщения

Пути усиления хемосенсибилизирующего действия доноров оксида азота на опухолевые клетки при химиотерапии цитостатиками и гидроксамовыми кислотами. Сообщение 1. Изменения активности цитохрома P-450

Т. Н. Богатыренко, З. В. Куроптева,
Л. М. Байдер, И. В. Серков,
В. Р. Богатыренко, Т. Е. Сашенкова,
Е. Н. Климанова, Д. В. Мищенко,
Н. П. Коновалова

Изв. АН. Сер. хим., 2016, № 10, 2509

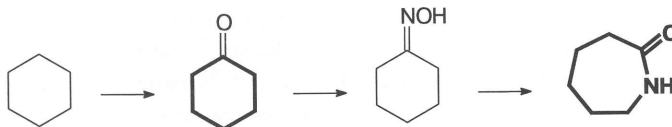


Динамика изменения интенсивности сигнала ЭПР (1) цитохрома P-450 ($g = 2.25$) в тканях печени мышей линии BDF1 под действием АГК (1), Ind-NO (2) и Ind-NO + АГК (3).

Информация

Циклогексанон в производстве капролактама. Проблемы и решения

Е. А. Мартыненко, И. Л. Глазко,
С. В. Леванова



Изв. АН. Сер. хим., 2016, № 10, 2513